

# Ocular Biometrics and Newborn Fingerprint Biometrics

Luiz Antonio Zanlorensi

Abril 2021

## 1 Biometria

- Introdução
- Biometria Ocular
- Impressão Digital

## 2 Doutorado

- Iris - Deep Learning
- Periocular - Edição automática de images
- Base de dados Periocular

## 3 Natosafe

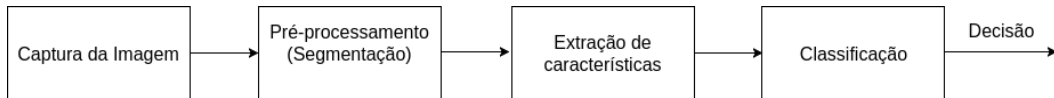
- Introdução
- Serviços
- Produtos
- Scanner biométrico neonatal

# O que é? Aplicações?

- Extração e classificação de características distintivas de uma pessoa;
- Muito mais difícil perder características físicas;
- Requerimentos:
  - *Universalidade*: Todos devem possuir;
  - *Distintividade*: Duas pessoas não podem possuir o mesmo;
  - *Permanência*: Deve ser invariante à um período de tempo;
  - *Coletabilidade*;
- Aplicações:
  - Comercial;
  - Governamental;
  - Forense;

# Reconhecimento de padrões

A biometria geralmente funciona por meio de um sistema de reconhecimento de padrões:



# Tipos de biometria

- Fisiológico:
  - Face;
  - Digital;
  - Mão;
  - Íris;
- Comportamental:
  - Assinatura;
  - Voz;
  - Forma de andar (*Gait*);
- Online/Offline.

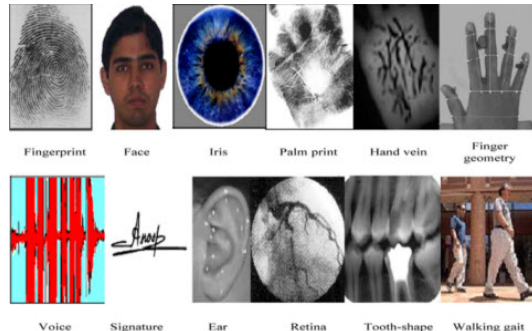


Imagen extraída de [www.elprocus.com].

## Modos biométricos

- Identificação (1:N): "*Quem é essa pessoa?*"
- Verificação (1:1): "*Essa pessoa é quem ela diz ser?*"

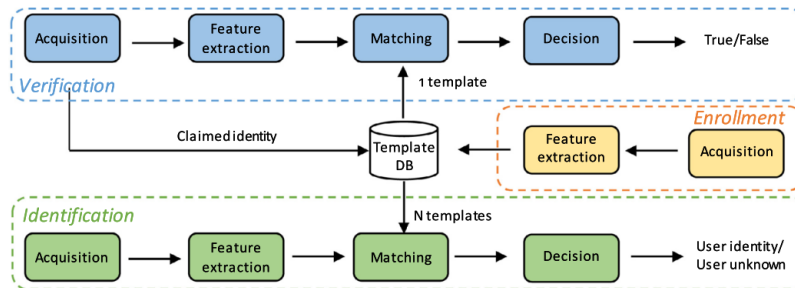


Figura: Extraído de [Lumini and Nanni, 2017]

# Biometria de íris e região periocular

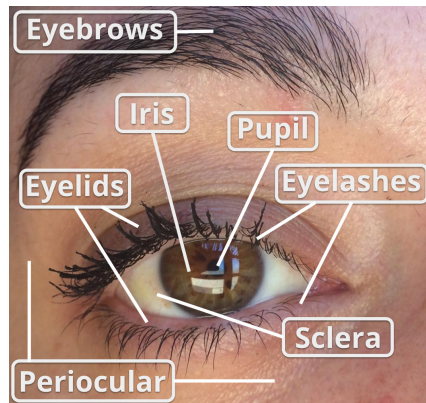
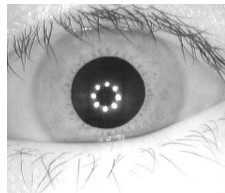


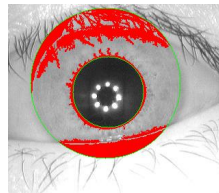
Imagen extraída de Zanlorensi et al. [Zanlorensi et al., 2019].

# Daugman's approach

Original



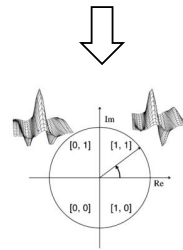
Segmentation



Polar representation  
(Normalization)



Hamming  
Distance



# Biometria - Impressão Digital

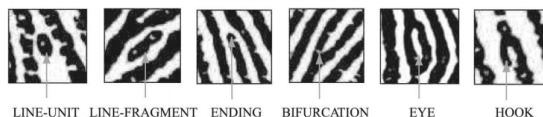
- Tipos de impressões digitais [Jain et al., 2007]:

LEVEL 1 FEATURES



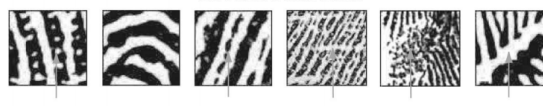
ARCH    TENTED ARCH    LEFT LOOP    RIGHT LOOP    DOUBLE LOOP    WHORL

LEVEL 2 FEATURES



LINE-UNIT    LINE-FRAGMENT    ENDING    BIFURCATION    EYE    HOOK

LEVEL 3 FEATURES



PORES    LINE SHAPE    INCIPIENT RIDGES    CREASES    WARTS    SCARS

# Impressão Digital

- Diversas metodologias são baseadas em tipos e pontos de minúcias:



# Biometria - Impressão Digital

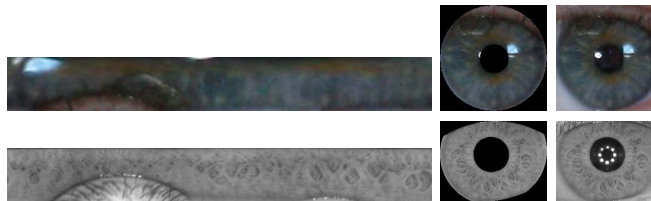
Matching:

- Sobrepor e centralizar as imagens;
- Calcular distância entre os pontos;



## Problemas:

- Avaliar o sistema biométrico sem pré-processamento:
  - avaliar em ambiente controlado e não controlado;
  - avaliar a remoção de segmentação e normalização;



## Resultados:

- Artigo SIBGRAPI 2018 [Zanlorensi et al., 2018]
  - Avaliação de segmentação e normalização;
  - 2 modelos de CNN para a extração de características;
  - Técnica de data augmentation;
  - Resultado estado da arte na competição NICE.II.
- Problemas:
  - Como detectar a região da íris?
  - Custo da detecção.
  - YOLO?

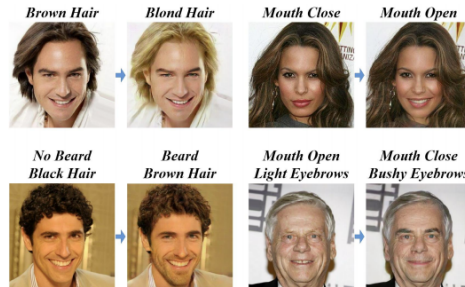
## Problema e Motivação

- Erros de matching de mesma pessoa com atributos diferentes;



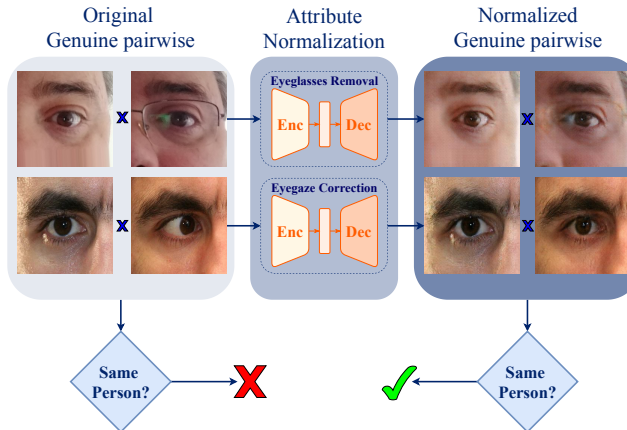
## Problema e Motivação

- Evolução de redes GAN: StyleGAN [Karras et al., 2019], AttGAN [He et al., 2019];



## Normalização de atributos

- Método proposto [Zanlorensi et al., 2020]:



## Resultados:

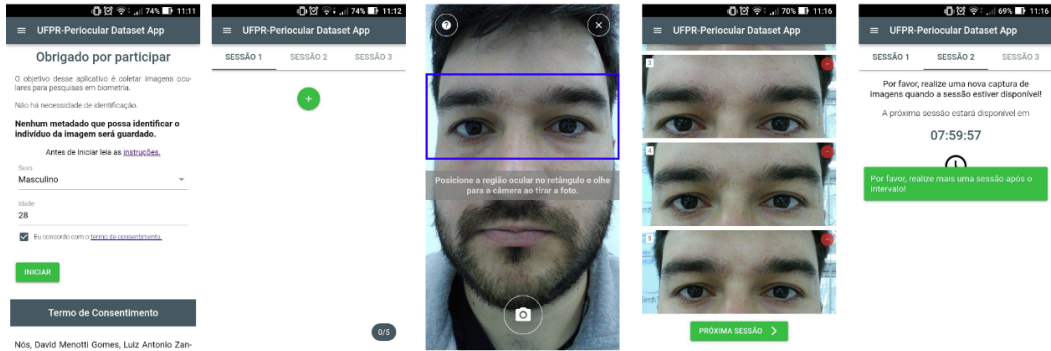
- Artigo ICIP [Zanlorensi et al., 2020]
  - Avaliação utilizando 2 atributos: ângulo do olho e óculos;
  - Melhora em métodos handcrafted e deep representations;
- Problemas:
  - Como modificar apenas a região desejada sem perder características;

# Problemas

- Bases de dados com amostras de poucas pessoas;
- Como avaliar a escalabilidade das abordagens propostas;
- Melhorar a biometria utilizando soft-biometrics;
- Problemas que causam erros de verificação/identificação:
  - Imagens obtidas em ambientes diferentes;
  - Pessoas com óculos, maquiagem;
  - Diferentes horas do dia (expressão);
- Como fazer a coleta?
- Como recrutar?
- Comitê de ética;

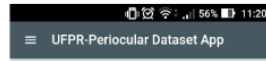
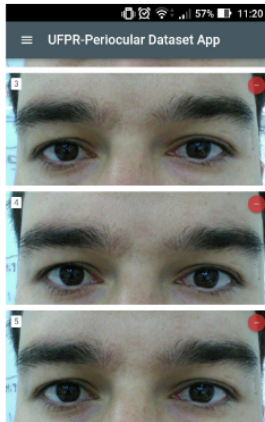
# Base de dados proposta (UFPR-Periocular):

- Coleta de dados (desenvolvimento de um app):

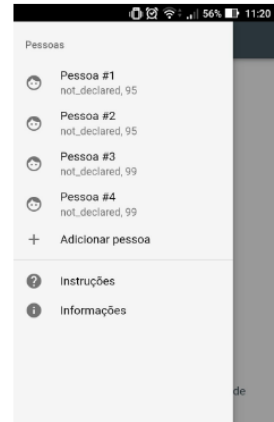


# Base de dados proposta (UFPR-Periocular):

- Recrutamento de participantes:

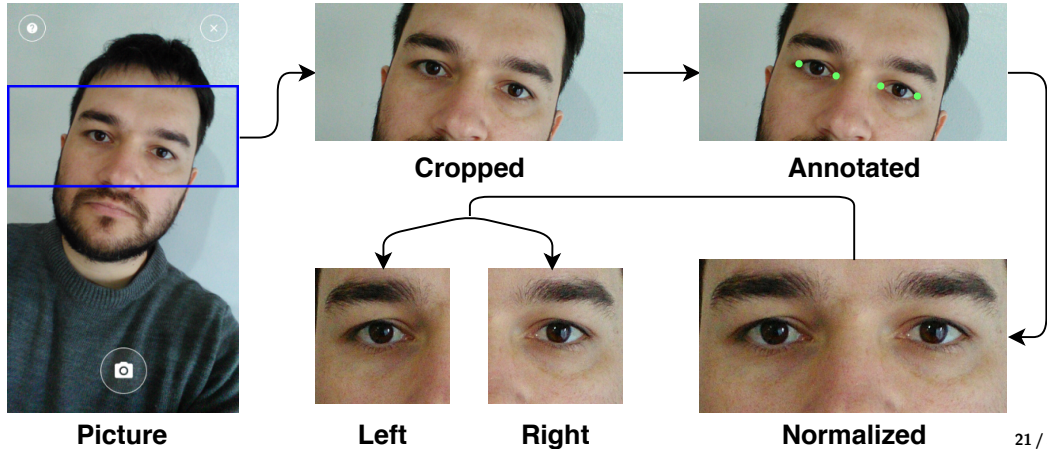


\*Este QRCode não identifica o usuário!



## Base de dados proposta (UFPR-Periocular):

- Processamento dos dados:



## Base de dados proposta (UFPR-Periocular) - Resultados:

Dataset	Subjects	Images	Sessions	Sensors
VSSIRIS [6]	28	560	1	2
CSIP [7]	50	2,004	N/A	7
QUT [8]	53	212	N/A	2
IIITD [9]	62	1,240	N/A	3
UPOL [10]	64	384	N/A	1
UTIRIS [11]	79	1,540	2	2
MICHE-I [12]	92	3,732	2	3
CROSS-EYED [13], [14]	120	3,840	N/A	2
PolyU Cross-Spectral [15]	209	12,540	2	2
UBIRIS.v1 [16]	241	1,877	2	1
UBIRIS.v2 [17]	261	11,102	2	1
UBIPr [18]	261	10,950	2	1
VISOB [19]	550	<b>158,136</b>	2	3
<b>UFPR-Periocular</b>	<b>1,122</b>	33,660	<b>3</b>	<b>196</b>

## Base de dados proposta (UFPR-Periocular) - Resultados:



## Base de dados proposta (UFPR-Periocular) - Resultados:

- Comparação de diferentes arquiteturas;
- Soft-biometrics melhoraram o treinamento da rede:
  - Identificação (acc): 78% - 84,3%;
  - Verificação (eer): 1,13% - 0,8%;
  - Maior impacto na utilização de informação do sensor (modelo do smartphone) e idade;

## Biometria de recém nascido

- +1.200.000 de crianças traficadas por ano no mundo.
- 32.000 crianças desaparecidas por ano no Brasil;
- Por que impressão digital?



# Plataforma INFANT.ID

- INFANT.ID Enroll:
  - Cadastro e vínculo biométrico;
  - IA para garantir a melhor imagem;
- INFANT.ID Viewer:
  - Análises de digitais neonatal;
  - Sistema de indicação de tipo fundamental;
  - Exportação das imagens em fichas;

# Nilmaone

- Alta resolução (4K com 2.500 dpi)
- Certificação FAP 30 do FBI;
- Não necessita de adaptadores e fontes externas;



# Comparação de imagens

## RESULTADOS LADO A LADO

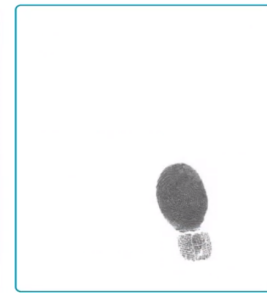


## ALTA RESOLUÇÃO X BAIXA RESOLUÇÃO

### SCANNER DE MERCADO 01



### SCANNER DE MERCADO 02



# Comparação de imagens

## RESULTADOS LADO A LADO



SCANNER  
DE MERCADO 01

## ALTA RESOLUÇÃO X BAIXA RESOLUÇÃO

SCANNER  
DE MERCADO 02



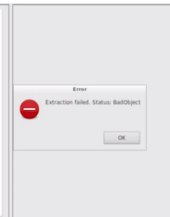
# Comparação de imagens

## RESULTADOS LADO A LADO



## RESULTADOS DA EXTRAÇÃO DE MINÚCIAS

## SCANNER DE MERCADO 02



## Extração de informações de images com baixa qualidade



## Desafios:

- Tratamento das imagens de entrada;
- Determinar qualidade de imagens;
- Como utilizar images com ruídos;
- Extração de minúcias de mais de uma imagem;
- Matching;
- Matching temporal;

Obrigado!

e-mail: [lazjunior@inf.ufpr.br](mailto:lazjunior@inf.ufpr.br)

# Bibliography I

-  He, Z., Zuo, W., Kan, M., Shan, S., and Chen, X. (2019).  
Attgan: Facial attribute editing by only changing what you want.  
*IEEE Transactions on Image Processing*, 28(11):5464–5478.
-  Jain, A. K., Chen, Y., and Demirkus, M. (2007).  
Pores and ridges: High-resolution fingerprint matching using level 3 features.  
*IEEE Transactions on Pattern Analysis and Machine Intelligence*, 29(1):15–27.
-  Karras, T., Laine, S., and Aila, T. (2019).  
A style-based generator architecture for generative adversarial networks.  
In *Proceedings of the IEEE/CVF Conference on Computer Vision and Pattern Recognition (CVPR)*.
-  Lumini, A. and Nanni, L. (2017).  
Overview of the combination of biometric matchers.  
*Information Fusion*, 33:71–85.

## Bibliography II

-  Zanlorensi, L. A., Laroca, R., Luz, E., Britto Jr., A. S., Oliveira, L. S., and Menotti, D. (2019).  
Ocular recognition databases and competitions: A survey.  
*arXiv preprint*, arXiv:1911.09646:1–20.
-  Zanlorensi, L. A., Luz, E., Laroca, R., Britto, A. S., Oliveira, L. S., and Menotti, D. (2018).  
The impact of preprocessing on deep representations for iris recognition on unconstrained environments (accepted paper).  
In *2018 31th SIBGRAPI Conference on Graphics, Patterns and Images*.
-  Zanlorensi, L. A., Proença, H., and Menotti, D. (2020).  
Unconstrained periocular recognition: Using generative deep learning frameworks for attribute normalization.  
In *2020 International Conference on Image Processing (ICIP)*, pages 1361–1365.